

苦参碱通过抑制 microRNA-192 调控顺铂耐受肺腺癌 A549 细胞对顺铂的敏感性

庞 琪, 朱 燕, 李 陶, 李顺保

兰州石化总医院, 甘肃 兰州 730060

摘要: 目的 探讨苦参碱通过调控 microRNA 影响顺铂耐受 A549 (A549/DDP) 细胞对顺铂的敏感性。方法 采用生物信息学手段对 GEO 数据库中的相关 microRNA 芯片数据 (访问编号 GSE43249) 进行数据挖掘, 筛选出与 A549 细胞顺铂敏感性相关的 microRNA。体外培养对顺铂敏感的 A549 细胞及 A549/DDP, 使用实时荧光定量 PCR (qRT-PCR) 法在体外培养的细胞中验证生物信息学的结果, 并考察苦参碱对 A549/DDP 细胞中 microRNA 水平的影响。通过转染 microRNA-192 (miR-192) 模拟序列上调 A549/DDP 细胞的 miR-192 水平。CCK-8 细胞活力实验考察苦参碱处理及 (或) miR-192 上调对 A549/DDP 细胞顺铂敏感性的影响。结果 芯片数据挖掘显示与顺铂敏感的 A549 细胞相比, A549/DDP 细胞中共有 11 个 microRNA 存在显著变化 ($P < 0.05$), 其中 miR-192 及 miR-194 变化在体外培养的细胞中得到了验证。与未经处理的 A549/DDP 细胞相比, 苦参碱处理后的 A549/DDP 细胞中 miR-192 水平显著降低 ($P < 0.05$)。苦参碱处理可以增加 A549/DDP 细胞对顺铂的敏感性, miR-192 的上调可以消除这种效果。上调 miR-192 水平可诱导 A549 细胞的顺铂耐受。结论 苦参碱可能通过抑制 miR-192 调控 A549 对顺铂的敏感性。

关键词: 苦参碱; 非小细胞肺癌; A549; microRNA; 顺铂; 耐药

中图分类号: R285.5 **文献标志码:** A **文章编号:** 0253 - 2670(2019)03 - 0653 - 06

DOI: 10.7501/j.issn.0253-2670.2019.03.018

Effect of matrine on sensitivity of A549/DDP cells to cisplatin by inhibiting microRNA-192

PANG Qi, ZHU Yan, LI Tao, LI Shun-bao

Lanzhou General Petrochemical Hospital, Lanzhou 730060, China

Abstract: Objective To investigate the effect of matrine on increasing the sensitivity of A549/DDP cells to cisplatin by regulating microRNAs. **Methods** Data mining was performed on a microarray dataset (accession ID: GSE43249) from GEO database using bioinformatics analysis. Then microRNAs which related to the sensitivity of A549 cells to cisplatin were selected as candidate microRNAs. A549 and A549/DDP cells were cultured *in vitro*. The expression changes of candidate microRNAs were confirmed by qRT-PCR. The effect of matrine on the level of candidate microRNAs was also determined by qRT-PCR in A549/DDP cells. The level of microRNA-192 (miR-192) in A549/DDP cells was up-regulated by transfecting sequence of miR-192mimic. The CCK-8 assay was used to observe the effect of matrine and (or) miR-192 up-regulation on the sensitivity of A549/DDP cells to cisplatin. **Results** Data mining results showed that there were 11 microRNAs with significant changes in A549/DDP cells compared with cisplatin-sensitive A549 cells ($P < 0.05$). The changes of miR-192 and miR-194 expression were confirmed *in vitro*. Compared with untreated A549/DDP cells, matrine treatment reduced the level of miR-192 in A549/DDP cells ($P < 0.05$). Matrine treatment increased the sensitivity of A549/DDP cells to cisplatin. Up-regulation of miR-192 could antagonize this effect and induce the resistance of A549 cells to cisplatin.

Conclusion Matrine may increase the sensitivity of A549 cells to cisplatin by inhibiting miR-192.

Key words: matrine; NSCLC; A549; microRNA; cisplatin; drug-resistance

苦参碱是从豆科槐属植物苦参、广豆及苦豆子的根中提取得到的生物碱之一, 其作为上述中药的

主要活性成分在肿瘤的治疗中发挥重要作用^[1]。大量研究已经证实苦参碱不仅能够抑制肿瘤细胞的增

殖, 诱导其凋亡, 还可以增加化疗药物的疗效, 起到化疗增敏作用^[2]。苦参碱联合顺铂治疗, 可以提高非小细胞肺癌 (NSCLC) 患者的近期疗效并减轻不良反应^[3]。体外细胞实验也证实苦参碱可增加 NSCLC 细胞对顺铂的敏感性^[4]。microRNA 是一类在癌症研究中较为热门的短链非编码 RNA, 其在调控 NSCLC 对顺铂敏感性方面扮演重要角色^[5], 因此本研究对相关的高通量 microRNA 微芯片进行了生物信息学数据挖掘, 并设计了体外细胞实验加以验证, 旨在阐明苦参碱通过调控 microRNA 来增加肺腺癌 A549 细胞对顺铂敏感性的作用机制, 为其深入开发及临床应用提供参考和依据。

1 材料和方法

1.1 材料

肺腺癌 A549 细胞系 (A549) 和顺铂耐药的肺腺癌 A549 细胞系 (A549/DDP), 购自中国科学院上海生命科学研究院; DMEM 培养基、胰酶及胎牛血清购自 Gibco 公司; 顺铂 (质量分数>98%, 批号 CAS#15663-27-1) 及苦参碱 (质量分数>98%, 批号 CAS#519-02-8) 购自美国 Sigma-Aldrich 公司; HG SYBR Green miRNA 荧光定量 PCR 试剂盒、一步法 miRNA 反转录试剂盒及快速组织细胞 miRNA 提取试剂盒购自哈尔滨新海基因检测有限公司; Lipofectamine RNAiMax 购自美国 Thermo Fisher 公司; 相关引物、microRNA-192 (miR-192) 模拟序列及无关阴性对照序列购自上海吉玛制药技术有限公司; CCK-8 细胞活力试剂盒购自上海碧云天生物科技有限公司。

1.2 生物信息学分析

检索 Gene Expression Omnibus (GEO) 芯片数据库中访问编号为 GSE43249 的芯片数据集。该数据集为顺铂敏感的 A549 细胞与顺铂耐受的 A549 细胞的 microRNA 表达谱。数据集共 6 个样本, 其中 3 个样本收集自顺铂敏感的 A549 细胞, 另外 3 个样本收集自顺铂耐受的 A549。使用 R 语言统计分析工具 (V3.4.1) 配合 limma 程序包分析顺铂敏感 A549 细胞与顺铂耐受 A549 细胞间的 microRNA 差异表达, 筛选出表达变化大于 1.5 倍 ($\lg FC > 0.58$) 且 $P < 0.05$ 的 microRNA 作为具有显著差异的 microRNA。

1.3 细胞培养

A549 细胞和 A549/DDP 细胞常规培养于 37 °C、5% CO₂ 培养箱。培养基采用含 10% 胎牛血

清的 DMEM 培养基。细胞汇合度达 80% 左右时常规胰酶消化传代, 取对数期细胞进行实验。为维持 A549/DDP 的耐药性, 用于 A549/DDP 的培养基需加入 0.5 μg/mL 的顺铂, 但在实验前 48 h 时换为不含顺铂的培养基。

1.4 实时荧光定量 PCR (qRT-PCR) 检测

qRT-PCR 用于验证生物信息分析筛选出的变化倍数排名前 5 位的 microRNA 在 A549 细胞及 A549/DDP 细胞间的表达差异, 同时用于检测苦参碱处理后 A549/DDP 的 miR-192 及 miR-194 的变化。使用 HaiGene 快速组织细胞 miRNA 提取试剂盒提取 A549 细胞、A549/DDP 细胞及苦参碱 (1.0 mg/mL, 48 h) 处理后的 A549/DDP 细胞中的 microRNA 样本。使用 HaiGene 一步法 miRNA 反转录试剂盒对获取的 microRNA 样本进行反转录以获取 cDNA 模板。使用 HG SYBR Green miRNA 荧光定量 PCR 试剂盒对获取的 cDNA 进行定量扩增, 内参使用 RNU6B。目标 microRNA 的相对表达水平采用 $2^{-\Delta\Delta Ct}$ 法计算, 其中 $\Delta Ct = Ct_{\text{目标}} - Ct_{\text{内参}}$ 。

1.5 细胞转染实验

通过转染 miR-192 模拟序列 (miR-192 mimic) 上调 A549/DDP 细胞中的 miR-192 水平, 转染试剂采用 Lipofectamine RNAiMax, miR-192 mimic 的工作浓度为 5 nmol/L。同时转染无关序列 (miR-NG) 作为阴性转染对照。具体转染方案参考转染试剂说明书, miR-192 mimic 的转染效果已在预试验中得到验证。

1.6 细胞活性实验

细胞分为未经任何处理的 A549 细胞组 (对照) 及顺铂处理的细胞组, 其中顺铂处理的细胞组根据使用的细胞及预处理方式不同, 再分为 9 个亚组, 包括: (A) 未经预处理的 A549 细胞; (B) 未经预处理的 A549/DDP 细胞; (C) 苦参碱预处理的 A549/DDP 细胞; (D) 苦参碱预处理 + 转染 miR-192 mimic 的 A549/DDP 细胞; (E) 苦参碱预处理 + 转染 miR-NG 的 A549/DDP 细胞; (F) 仅转染 miR-192 mimic 的 A549/DDP 细胞; (G) 仅转染 miR-NG 的 A549/DDP 细胞; (H) 仅转染 miR-192 mimic 的 A549 细胞; (I) 仅转染 miR-NG 的 A549 细胞。前期预试验发现苦参碱预处理的最佳质量浓度为 1.0 mg/mL, 苦参碱预处理和细胞转染均于顺铂处理前 48 h 进行。将上述各组细胞以每孔 10 000 个的密度种植于 96 孔板, 待细胞贴壁后, 顺铂处理组的细

胞使用 20 $\mu\text{g}/\text{mL}$ 顺铂处理 48 h。使用 CCK-8 细胞活力试剂盒检测各组细胞的活力：弃去培养孔原有培养基，每孔加入 15 μL CCK-8 试剂，37 °C 放置 1 h 后测量 450 nm 处吸光度 (*A*) 值。计算相对细胞活力。

$$\text{相对细胞活力} = \text{处理组 } A \text{ 值} / \text{对照组 } A \text{ 值}$$

1.7 统计学分析

统计学分析采用 SPSS 17.0 软件，数据以 $\bar{x} \pm s$ 的形式表示。两组间均数差别的比较采用独立样本 *t* 检验，多组间均数的比较采用单因素方差分析，多组数据的两两比较采用 LSD 检验。

2 结果

2.1 参与调控 A549 细胞顺铂敏感性的相关 microRNA 筛选结果

通过对 GEO 数据库中编号为 GSE43249 的芯片数据集进行生物信息学分析发现，与顺铂敏感的

A549 细胞相比，A549/DDP 细胞中共 11 个 microRNA 存在显著变化，变化倍数大于 1.5 倍，且 $P < 0.05$ 。其中 5 个 microRNA 发生下调，6 个 microRNA 发生上调（图 1）。这些 microRNA 被认为与 A549 细胞顺铂敏感性的调控有关。鉴于芯片数据可能存在假阳性，为了方便进一步研究，选取变化倍数排名前 5 位的 microRNA (miR-886-5p、miR-194、miR-106b、miR-192、miR-574-3p) 在体外培养的 A549 及 A549/DDP 细胞中进行 qRT-PCR 的验证，结果（图 2）显示仅 miR-192 及 miR-194 的结果与芯片数据的分析结果一致，即在 A549/DDP 细胞中过表达且差异显著 ($P < 0.05$)。

2.2 苦参碱对 A549 及 A549/DDP 细胞中 miR-192 水平的影响

如图 3 所示，1.0 mg/mL 苦参碱处理可以降低

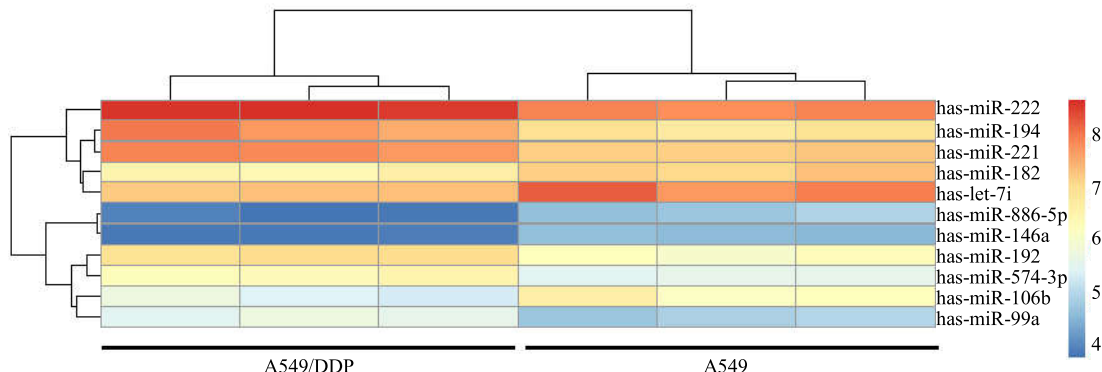


图 1 芯片数据分析筛选出的在 A549 及 A549/DDP 细胞间存在显著表达差异的 microRNA

Fig. 1 MicroRNAs with significant expression differences between A549 and A549/DDP cells screened by microarray dataset analysis

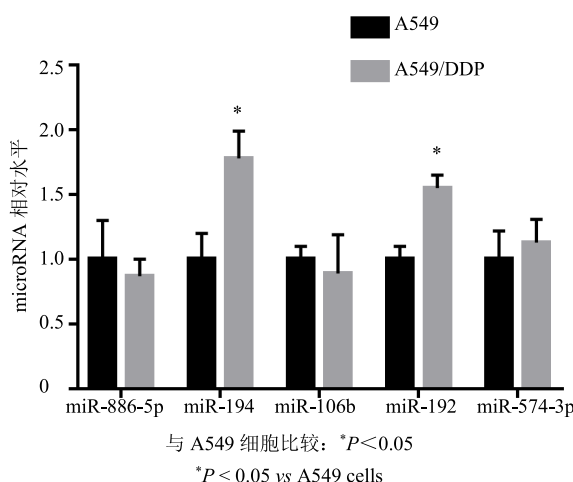


图 2 qRT-PCR 对芯片分析结果的验证 ($\bar{x} \pm s, n = 5$)

Fig. 2 Verification of microarray analysis by qRT-PCR ($\bar{x} \pm s, n = 5$)

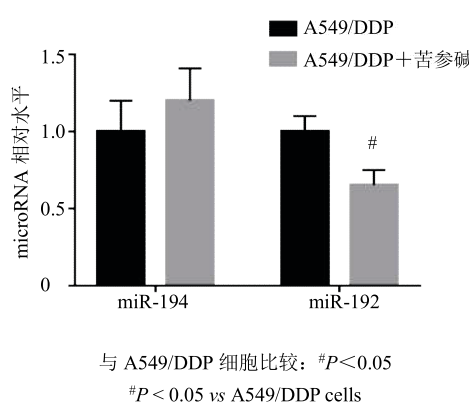


图 3 苦参碱对 A549/DDP 细胞中 miR-192 及 miR-194 水平的影响 ($\bar{x} \pm s, n = 5$)

Fig. 3 Effect of matrine on level of miR-192 or miR-194 in A549/DDP cells ($\bar{x} \pm s, n = 5$)

A549/DDP 细胞中的 miR-192 水平, 与未经任何处理的 A549/DDP 细胞相比差异显著 ($P<0.05$)。但苦参碱处理并未减少 miR-194 的水平, 与未经任何处理的 A549/DDP 细胞相比差异无统计学意义 ($P>0.05$), 故后续实验主要关注 miR-192。

2.3 苦参碱通过调控 miR-192 影响 A549 细胞的顺铂敏感性

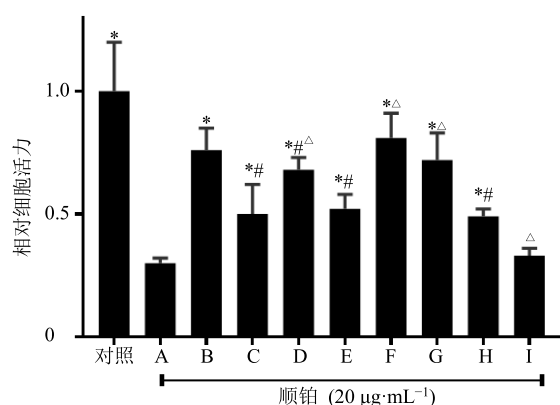
如图 4 所示, 20 $\mu\text{g}/\text{mL}$ 顺铂处理后, 无预处理 A549/DDP 细胞 (B 组) 的相对细胞活力显著高于未经处理 A549 细胞 (A 组), 差异显著 ($P<0.05$), 提示 A549/DDP 细胞确实存在顺铂耐受。苦参碱预处理的 A549/DDP 细胞 (C 组) 的相对细胞活力低于无预处理的 A549/DDP 细胞 (B 组), 差异显著 ($P<0.05$), 提示苦参碱预处理提高了 A549/DDP 细胞的顺铂敏感性。苦参碱预处理 + 转染 miR-192 mimic 的 A549/DDP 细胞 (D 组) 的相对细胞活力高于苦参碱预处理组 (C 组, $P<0.05$), 但仍低于无预处理的 A549/DDP 细胞 (B 组, $P<0.05$)。苦参碱预处

理 + 转染 miR-NG 的 A549/DDP 细胞 (E 组) 的相对细胞活力与苦参碱预处理组 (C 组) 相比, 差异无统计学意义 ($P>0.05$)。单纯转染 miR-192 mimic 的 A549/DDP 细胞 (F 组) 及转染 miR-NG 的 A549/DDP 细胞 (G 组) 的相对细胞活力与无预处理 A549/DDP 细胞 (B 组) 相比差异均无统计学意义 ($P>0.05$)。单纯转染 miR-192 mimic 的 A549 细胞 (H 组) 的相对细胞活力高于无预处理的 A549 细胞 ($P<0.05$)。转染 miR-NG 的 A549 细胞 (I 组) 的相对细胞活力与无预处理的 A549 细胞 (A 组) 相比, 差异不显著 ($P>0.05$)。上述结果提示过表达 miR-192 的水平部分消除了苦参碱的顺铂增敏效果, miR-192 能引起 A549 细胞的顺铂耐药, qRT-PCR 实验已经证明苦参碱可以降低 A549/DDP 细胞的 miR-192 水平, 因此推测苦参碱的顺铂增敏效果可能是通过抑制 miR-192 水平来实现的。

3 讨论

顺铂是临幊上 NSCLC 患者化疔方案中常涉及的药物, 其临幊疗效已经得到肯定。但是各种原因造成的顺铂耐药, 严重制约了患者顺铂治疗的疗效, 提高 NSCLC 患者对顺铂的敏感性成为了临幊亟待解决的问题之一^[6]。不少学者尝试使用中西医结合的方法来提高 NSCLC 患者的化疔效果, 并取得了一定的成果。苦参具有清热利湿、凉血解毒、散结止痛作用, 其主要活性成分为苦参碱^[7-8], 近年来在 NSCLC 患者中西医结合治疗研究领域中受到关注并有了一定临床应用^[9-10]。大量临幊研究的证据表明, 苦参碱的应用可以增加 NSCLC 患者顺铂治疗的疗效, 减轻患者的不良反应^[3]。体外研究也表明, 苦参碱可以增加 NSCLC 细胞对顺铂的敏感性^[11-12]。但是苦参碱在 NSCLC 顺铂治疗中发挥协同作用, 增加肿瘤细胞顺铂敏感性的具体分子机制并没有完全阐明。

为促进苦参碱的临幊应用, 本研究从 microRNA 调控的角度尝试揭示该机制。microRNA 是一类短链非编码 RNA, 其不编码蛋白质, 但可以通过与靶基因 mRNA 的结合, 实现对靶基因 mRNA 的抑制, 从而发挥转录后调控作用, 且这种转录调控作用的层次非常丰富, 是网络化、立体化的调控。这种特性使得 microRNA 不仅参与众多正常的细胞生长、发育及分化过程, 也在很多疾病, 如肿瘤的发生发展中扮演重要角色^[13-14]。现阶段已经证实, microRNA 可通过对多种靶基因的调控参与肿瘤细



A-未经预处理的 A549 细胞 B-未经预处理的 A549/DDP 细胞
C-苦参碱预处理的 A549/DDP 细胞 D-苦参碱预处理 + 转染 miR-192 mimic 的 A549/DDP 细胞
E-苦参碱预处理 + 转染 miR-NG 的 A549/DDP 细胞 F-仅转染 miR-192 mimic 的 A549/DDP 细胞
G-仅转染 miR-NG 的 A549/DDP 细胞 H-仅转染 miR-192 mimic 的 A549 细胞 I-仅转染 miR-NG 的 A549 细胞
* $P<0.05$; 与 B 组比较: # $P<0.05$; 与 C 组比较: △ $P<0.05$
A-A549 cells without treatment B-A549/DDP without treatment
C-A549/DDP cells pretreated with matrine D-A549/DDP cells pretreated with matrine and transfected with miR-192 mimic
E-A549/DDP cells pretreated with matrine and transfected with miR-NG F-A549/DDP cells transfected with miR-192 mimic G-A549/DDP cells transfected with miR-NG H-A549 cells transfected with miR-192 mimic I-A549 cells transfected with miR-NG * $P<0.05$ vs group A;
$P<0.05$ vs group B; △ $P<0.05$ vs group C

图 4 苦参碱处理和 miR-192 上调对 A549/DDP 顺铂敏感性的影响 ($\bar{x} \pm s, n=5$)

Fig. 4 Effect of matrine and up-regulation of miR-192 on sensitivity of A549/DDP cells to cisplatin ($\bar{x} \pm s, n=5$)

胞对化疗药物的耐受，针对相关 microRNA 进行干预，有可能逆转肿瘤细胞的化疗耐受或增加其化疗敏感性。在肺癌、乳腺癌、胰腺癌以及淋巴瘤中 miR-155 可诱导肿瘤细胞的化疗耐受，使用 miR-155 抑制剂后，肿瘤细胞的化疗敏感性得到改善^[15]。关于 NSCLC 细胞顺铂耐受与 microRNA 紊乱的相关研究也呈现爆发式增长。大量调控 NSCLC 细胞顺铂耐药的 microRNA 通过各种手段被筛选出来，并在体内外实验中得到了验证。体外研究发现在顺铂耐药的 A549/DDP 细胞中存在 microRNA-196a 的高表达，抑制 microRNA-196a 的水平可以增加细胞对顺铂的耐药性^[16]。Chen 等^[17]发现对顺铂耐药的 A549 细胞存在 microRNA-378 的低表达，并在裸鼠 NSCLC 模型中证实了该结果：上调 microRNA-378 能够增加肿瘤灶对顺铂的敏感性。Li 等^[18]通过对临床标本的分析，提出 miR-1244 表达较高的患者对顺铂治疗的响应较好，表现出较高的生存率。接着他们在体外细胞实验中证实，过表达 miR-1244 确实可以增加 NSCLC 细胞对顺铂的敏感性。基于 microRNA 在 NSCLC 细胞顺铂敏感性调控中的重要作用，一些研究开始尝试使用药物，特别是中药活性物质干预相关 microRNA，从而改善肿瘤细胞对化疗药物的敏感性，并取得了令人兴奋的结果。唐妮等^[19]发现姜黄素可以抑制 miR-186 表达从而增加 NSCLC 细胞对顺铂的敏感性。Li 等^[20]发现萝卜硫素可以通过调控 miR-214 改善 NSCLC 细胞的顺铂耐药。

本研究假设苦参碱可能通过调控某些 microRNA 实现对 NSCLC 细胞顺铂敏感性的调控。发现 miR-192 在对顺铂耐受的 A549/DDP 中存在高表达，且苦参碱处理可以降低 A549/DDP 中的 miR-192 表达，提示二者存在潜在的调控关系。细胞活力分析的数据发现，在体外苦参碱确实能增加 A549 细胞对顺铂的敏感性，这与既往报道的结果是一致的^[3]。而通过转染 miR-192 模拟序列上调 A549/DDP 中 miR-192 的表达后，苦参碱的上述增敏效果被部分抵消。上调 A549/DDP 细胞中的 miR-192 后，细胞对顺铂的敏感性并未改变，可能因为 A549/DDP miR-192 原本已经过表达，功能趋于饱和。但上调 A549 细胞中的 miR-192 后，细胞出现一定程度的顺铂耐受。上述证据表明，苦参碱可以通过对 miR-192 的调节，提高 A549 细胞对顺铂敏感性。

当然，microRNA 对 NSCLC 细胞顺铂敏感性的调控很大程度上是通过对其靶基因的调控实现的。如本研究关注的 miR-192，已有报道指出 miR-192 靶向负调控 Bim 基因，从而诱导肺癌顺铂耐药^[21]。当然 miR-192 的靶基因必然不只是 Bim 一种，苦参碱是否能够通过 miR-192 影响 Bim 或者其他的 miR-192 靶基因还有待深入研究。除 miR-192 后，苦参碱是否还调控其他 microRNA，也还有待在未来的研究中发现。总之，本研究初步揭示了苦参碱可能通过抑制 miR-192 的表达增加 NSCLC 对顺铂的敏感性，该结果为相关的研究提供了思路，也为临床应用提供了理论依据。

参考文献

- [1] Niu H, Zhang Y, Wu B, et al. Matrine induces the apoptosis of lung cancer cells through downregulation of inhibitor of apoptosis proteins and the Akt signaling pathway [J]. *Oncol Rep*, 2014, 32(3): 1087-1093.
- [2] Liao X Z, Tao L T, Liu J H, et al. Matrine combined with cisplatin synergistically inhibited urothelial bladder cancer cells via down-regulating VEGF/PI3K/Akt signaling pathway [J]. *Cancer Cell Int*, 2017, doi: 10.1186/s12935-017-0495-6.
- [3] Yang C L, Liu S S, Ma Y G, et al. The influence of intraoperative pleural perfusion with matrine-cisplatin or cisplatin on stromal cell-derived factor-1 in non-small cell lung cancer patients with subclinical pleural metastasis [J]. *Med Oncol*, 2012, 29(2): 574-581.
- [4] An Q, Han C, Zhou Y, et al. Matrine induces cell cycle arrest and apoptosis with recovery of the expression of miR-126 in the A549 non-small cell lung cancer cell line [J]. *Mol Med Rep*, 2016, 14(5): 4042-4048.
- [5] Fu W F, Chen W B, Dai L, et al. Inhibition of miR-141 reverses cisplatin resistance in non-small cell lung cancer cells via upregulation of programmed cell death protein 4 [J]. *Eur Rev Med Pharmacol Sci*, 2016, 20(12): 2565-2572.
- [6] Konishi M, Imai A, Fujii M, et al. Correlation of expression levels of copper transporter 1 and thymidylate synthase with treatment outcomes in patients with advanced non-small cell lung cancer treated with S-1/carboplatin doublet chemotherapy [J]. *Asian Pac J Cancer Prev*, 2018, 19(2): 435-441.
- [7] 王珂欣, 高丽, 周玉枝, 等. 苦参碱抗肝癌细胞增殖的¹H-NMR 代谢组学研究 [J]. 中草药, 2017, 48(20): 4275-4283.
- [8] 张庆, 茹庆国, 刘艳, 等. 苦参碱与氧化苦参碱对炎症相关结直肠癌的化学预防作用研究 [J]. 中草药,

- 2016, 47(9): 1548-1553.
- [9] Chen S F, Zhang Z Y, and Zhang J L. Matrine increases the inhibitory effects of afatinib on H1975 cells via the IL6/JAK1/STAT3 signaling pathway [J]. *Mol Med Rep*, 2017, 16(3): 2733-2739.
- [10] Yang Y, Guo J X, Shao Z Q, et al. Matrine inhibits bladder cancer cell growth and invasion *in vitro* through PI3K/AKT signaling pathway: An experimental study [J]. *Asian Pac J Trop Med*, 2017, 10(5): 515-519.
- [11] Liu Y Q, Li Y, Qin J, et al. Matrine reduces proliferation of human lung cancer cells by inducing apoptosis and changing miRNA expression profiles [J]. *Asian Pac J Cancer Prev*, 2014, 15(5): 2169-2177.
- [12] Zhang Y, Zhang H, Yu P, et al. Effects of matrine against the growth of human lung cancer and hepatoma cells as well as lung cancer cell migration [J]. *Cytotechnology*, 2009, 59(3): 191-200.
- [13] Gu Y, Zhang Z, Yin J, et al. Epigenetic silencing of miR-493 increases the resistance to cisplatin in lung cancer by targeting tongue cancer resistance-related protein 1 (TCRP1) [J]. *J Exp Clin Cancer Res*, 2017, doi: 10.1186/s13046-017-0582-5.
- [14] Wei X, Shen X, Ren Y, et al. The roles of microRNAs in regulating chemotherapy resistance of non-small cell lung cancer [J]. *Curr Pharm Des*, 2018, 23(39): 5983-5988.
- [15] Bayraktar R, Van Roosbroeck K. miR-155 in cancer drug resistance and as target for miRNA-based therapeutics [J]. *Cancer Metastasis Rev*, 2018, 37(1): 33-44.
- [16] Li Q, Yang Z, Chen M, et al. Downregulation of microRNA-196a enhances the sensitivity of non-small cell lung cancer cells to cisplatin treatment [J]. *Int J Mol Med*, 2016, 37(4): 1067-1074.
- [17] Chen X, Jiang Y, Huang Z, et al. miRNA-378 reverses chemoresistance to cisplatin in lung adenocarcinoma cells by targeting secreted clusterin [J]. *Sci Rep*, 2016, doi: 10.1038/srep19455.
- [18] Li G J, Zhao G Q, Yang J P, et al. Effect of miR-1244 on cisplatin-treated non-small cell lung cancer via MEF2D expression [J]. *Oncol Rep*, 2017, 37(6): 3475-3483.
- [19] 唐 妮, 张 艰, 杜永平. 姜黄素通过下调 miR-186 促进人肺腺癌细胞 A549/DDP 凋亡 [J]. 中国肺癌杂志, 2010, 13(4): 301-306.
- [20] Li Q Q, Xie Y K, Wu Y, et al. Sulforaphane inhibits cancer stem-like cell properties and cisplatin resistance through miR-214-mediated downregulation of c-MYC in non-small cell lung cancer [J]. *Oncotarget*, 2017, 8(7): 12067-12080.
- [21] 张 芳, 李 洋, 吴 衡, 等. MiR-192 靶向负调控 Bim 表达诱导肺癌顺铂耐药 [J]. 中国肺癌杂志, 2014, 17(5): 384-390.